



## Instruções para a realização da prova

- Neste caderno, deverão ser respondidas as questões das seguintes provas:
  - Matemática** (1 a 6);
  - Interdisciplinar de **Ciências Humanas** (7 e 8);
  - Física** (9 a 14);
  - Química** (15 a 20).
- Atenção:** nas questões que exigem cálculo, não basta escrever apenas o resultado final. É necessário mostrar a resolução ou o raciocínio utilizado para responder às questões.
- A prova deve ser feita com caneta esferográfica **preta**. Utilize apenas o espaço reservado (e claramente identificado) para a resolução das questões.
- A duração total da prova é de **cinco** horas.

### ATENÇÃO

Os rascunhos **não** serão considerados na correção.

UNICAMP VESTIBULAR 2023 – 2ª FASE  
MATEMÁTICA | CIÊNCIAS HUMANAS | FÍSICA | QUÍMICA

ORDEM

INSCRIÇÃO

ESCOLA

SALA

LUGAR

NOME

ASSINATURA DO CANDIDATO

As fórmulas necessárias para a resolução de algumas questões são fornecidas no próprio enunciado – leia com atenção. Quando necessário, use as aproximações:

$$g \approx 10 \text{ m/s}^2$$

$$\pi \approx 3$$

Classificação Periódica dos Elementos Químicos																	
1																	18
1 <b>H</b> Hidrogênio 1,0079																	2 <b>He</b> Hélio 4,0026
3 <b>Li</b> Lítio 6,941(2)	4 <b>Be</b> Berílio 9,0122											5 <b>B</b> Boro 10,811(5)	6 <b>C</b> Carbono 12,011	7 <b>N</b> Nitrogênio 14,007	8 <b>O</b> Oxigênio 15,999	9 <b>F</b> Fluor 18,998	10 <b>Ne</b> Neônio 20,180
11 <b>Na</b> Sódio 22,990	12 <b>Mg</b> Magnésio 24,305											13 <b>Al</b> Alumínio 26,982	14 <b>Si</b> Silício 28,086	15 <b>P</b> Fósforo 30,974	16 <b>S</b> Enxofre 32,066(6)	17 <b>Cl</b> Cloro 35,453	18 <b>Ar</b> Argônio 39,948
19 <b>K</b> Potássio 39,098	20 <b>Ca</b> Cálcio 40,078(4)	21 <b>Sc</b> Escândio 44,956	22 <b>Ti</b> Titânio 47,867	23 <b>V</b> Vanádio 50,942	24 <b>Cr</b> Cromo 51,996	25 <b>Mn</b> Manganês 54,938	26 <b>Fe</b> Ferro 55,845(2)	27 <b>Co</b> Cobalto 58,933	28 <b>Ni</b> Níquel 58,693	29 <b>Cu</b> Cobre 63,546(3)	30 <b>Zn</b> Zinco 65,39(2)	31 <b>Ga</b> Gálio 69,723	32 <b>Ge</b> Germânio 72,61(2)	33 <b>As</b> Arsênio 74,922	34 <b>Se</b> Selênio 78,96(3)	35 <b>Br</b> Bromo 79,904	36 <b>Kr</b> Criptônio 83,80
37 <b>Rb</b> Rubídio 85,468	38 <b>Sr</b> Estrôncio 87,62	39 <b>Y</b> Ítrio 88,906	40 <b>Zr</b> Zircônio 91,224(2)	41 <b>Nb</b> Nióbio 92,906	42 <b>Mo</b> Molibdênio 95,94	43 <b>Tc</b> Tecnécio 98,906*	44 <b>Ru</b> Rutênio 101,07(2)	45 <b>Rh</b> Ródio 102,91	46 <b>Pd</b> Paládio 106,42	47 <b>Ag</b> Prata 107,87	48 <b>Cd</b> Cádmio 112,41	49 <b>In</b> Índio 114,82	50 <b>Sn</b> Estanho 118,71	51 <b>Sb</b> Antimônio 121,76	52 <b>Te</b> Telúrio 127,60(3)	53 <b>I</b> Iodo 126,90	54 <b>Xe</b> Xenônio 131,29(2)
55 <b>Cs</b> Césio 132,91	56 <b>Ba</b> Bário 137,33	57 a 71 <b>La-Lu</b>	72 <b>Hf</b> Háfnio 178,49(2)	73 <b>Ta</b> Tântalo 180,95	74 <b>W</b> Tungstênio 183,84	75 <b>Re</b> Rênio 186,21	76 <b>Os</b> Ósmio 190,23(3)	77 <b>Ir</b> Iridio 192,22	78 <b>Pt</b> Platina 195,08(3)	79 <b>Au</b> Ouro 196,97	80 <b>Hg</b> Mercúrio 200,59(2)	81 <b>Tl</b> Tálio 204,38	82 <b>Pb</b> Chumbo 207,2	83 <b>Bi</b> Bismuto 208,98	84 <b>Po</b> Polônio 209,98*	85 <b>At</b> Astatina 209,99*	86 <b>Rn</b> Radônio 222,02*
87 <b>Fr</b> Frâncio 223,02*	88 <b>Ra</b> Rádio 226,03*	89 a 103 <b>Ac-Lr</b>	104 <b>Rf</b> Rutherfordio 261*	105 <b>Db</b> Dúbnio 262*	106 <b>Sg</b> Seabórgio ---	107 <b>Bh</b> Bóhrio ---	108 <b>Hs</b> Hássio ---	109 <b>Mt</b> Meitnério ---									

Número atômico → 25  
 Símbolo → **Mn**  
 Nome → Manganês  
 Massa atômica relativa. A incerteza no último dígito é ±1, exceto quando indicado entre parêntesis. Os valores com \* referem-se ao isótopo mais estável.

57 <b>La</b> Lantânio 138,91	58 <b>Ce</b> Cério 140,12	59 <b>Pr</b> Praseodími 140,91	60 <b>Nd</b> Neodímio 144,24(3)	61 <b>Pm</b> Promécio 146,2*9	62 <b>Sm</b> Samário 150,36(3)	63 <b>Eu</b> Európio 151,96	64 <b>Gd</b> Gadolínio 157,25(3)	65 <b>Tb</b> Térbio 158,93	66 <b>Dy</b> Disprósio 162,50(3)	67 <b>Ho</b> Hólmio 164,93	68 <b>Er</b> Érbio 167,26(3)	69 <b>Tm</b> Túlio 168,93	70 <b>Yb</b> Ítrbio 173,04(3)	71 <b>Lu</b> Lutécio 174,97
89 <b>Ac</b> Actínio 227,03*	90 <b>Th</b> Tório 232,04*	91 <b>Pa</b> Protactínio 231,04*	92 <b>U</b> Urânio 238,03*	93 <b>Np</b> Neptúlio 237,05*	94 <b>Pu</b> Plutônio 239,05*	95 <b>Am</b> Americio 241,06*	96 <b>Cm</b> Cúrio 244,06*	97 <b>Bk</b> Berquélio 249,08*	98 <b>Cf</b> Califórnio 252,08*	99 <b>Es</b> Einsteinio 252,08*	100 <b>Fm</b> Férmio 257,10*	101 <b>Md</b> Mendelevio 258,10*	102 <b>No</b> Nobelio 259,10*	103 <b>Lr</b> Laurêncio 262,11

# RASCUNHO















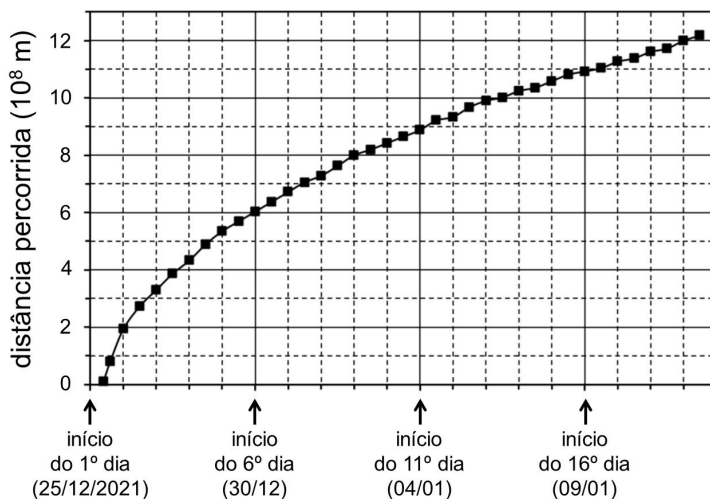




9. Em meados de 2022 o Telescópio Espacial James Webb entrou em operação. Ele foi chamado inicialmente de Telescópio Espacial de Nova Geração por ser desenvolvido com novas tecnologias e ter o objetivo de substituir parcialmente as funções do Telescópio Espacial Hubble, lançado em 1990. O telescópio Hubble possui uma massa  $m_H \approx 11\,000\text{ kg}$  e se move numa órbita circular em torno da Terra, a uma altura aproximada  $h \approx 600\text{ km}$  da superfície terrestre. Já o Webb não orbita em torno da Terra, e sim em torno de um ponto mais distante do que a Lua; sua massa é pouco mais da metade da massa do Hubble, e pode ser aproximada por  $m_W \approx 6000\text{ kg}$ .

- a) O período orbital do Hubble em torno da Terra pode ser aproximado por  $T_H \approx 100\text{ min}$ , e o raio da Terra por  $R_T \approx 6400\text{ km}$ . Qual o módulo da força centrípeta que atua no telescópio Hubble?
- b) A figura no espaço de respostas mostra a distância percorrida pelo Webb durante as duas primeiras semanas após o lançamento. Assuma que o módulo da velocidade do Webb é aproximadamente constante no período que vai do início do 9º ao início do 19º dia de viagem (10 dias completos). Calcule, em unidades do SI, o módulo da quantidade de movimento do telescópio ao longo desse período. Aproxime  $1\text{ dia} \approx 8 \times 10^4\text{ s}$ .

Resolução (será considerado apenas o que estiver escrito com caneta preta dentro deste espaço).

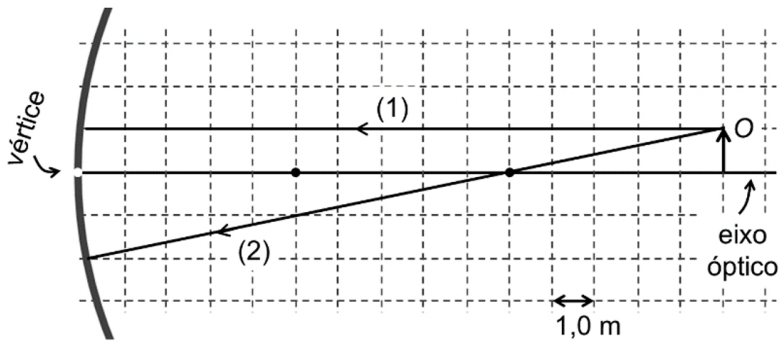


10. O espelho primário do Telescópio Espacial James Webb é côncavo e tem diâmetro de aproximadamente seis metros – cerca de três vezes o do espelho do Telescópio Espacial Hubble. Isso permite a observação de objetos celestes ainda mais distantes.

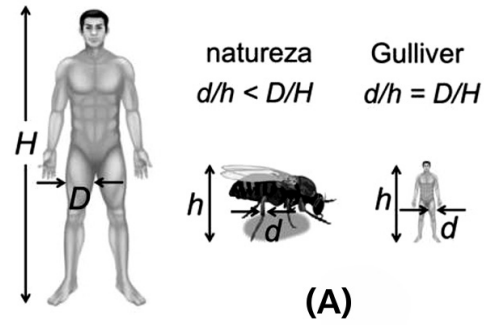
a) A figura, no espaço de respostas, apresenta um espelho esférico de raio de curvatura  $R_c = 10$  m. Um objeto  $O$  está posicionado no eixo óptico a uma distância  $p = 15$  m do vértice do espelho, e dois raios incidentes no espelho são assinalados como (1) e (2). Encontre a distância  $p'$  da imagem ao vértice do espelho. A imagem é real ou é virtual? É direita ou é invertida? É ampliada ou é reduzida?

b) Em 1929, o astrônomo Edwin Hubble observou que a velocidade  $v$  de afastamento de uma galáxia é proporcional à sua distância  $D$  até a Terra, estabelecendo a chamada lei de Hubble:  $v = H_0 D$ , sendo  $H_0 \approx \frac{2 \times 10^{-2} \text{ m/s}}{\text{ano-luz}}$  a constante de Hubble. Para a determinação da velocidade de afastamento, os astrônomos usaram o efeito Doppler, que produz um deslocamento da frequência da luz proveniente das galáxias, de forma que, para  $v \ll c$ , tem-se:  $\frac{f_{\text{observ}}}{f_{\text{emit}}} \approx 1 - \frac{v}{c}$ , sendo  $f_{\text{observ}}$  e  $f_{\text{emit}}$  respectivamente as frequências observada e emitida, e  $c = 3,0 \times 10^8$  m/s a velocidade da luz no vácuo. A que distância  $D$  fica uma galáxia para a qual certo comprimento de onda da luz observada é 25% maior que o da luz emitida, ou seja,  $\frac{\lambda_{\text{observ}}}{\lambda_{\text{emit}}} \approx 1,25$ ?

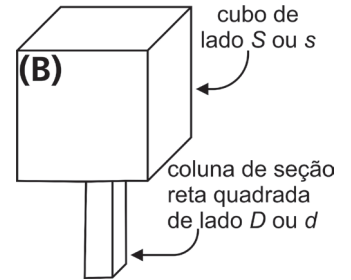
Resolução (será considerado apenas o que estiver escrito com caneta preta dentro deste espaço).



11. Na natureza, observa-se que a razão entre o diâmetro dos membros de sustentação de um animal e a sua altura é tanto menor quanto menor for o animal (ver figura A). Todavia, os diminutos seres humanos descritos no livro “Viagens de Gulliver” (Jonathan Swift, 1726) e no filme “Downsizing” (2017) têm essa razão mantida, diferentemente do que ocorre na natureza. Para ilustrar o comportamento da natureza, vamos tratar um caso simples: duas caixas cúbicas de água, uma grande – com lado  $S = 4,0$  m e massa  $M = 6,4 \times 10^4$  kg –, e outra pequena – com lado  $s = S/4 = 1,0$  m e massa  $m = 1,0 \times 10^3$  kg.



a) Suponha que cada caixa esteja em equilíbrio estático e seja sustentada por uma coluna de seção reta quadrada, centrada no fundo, conforme a figura B. Os lados das colunas são  $D = 0,4$  m (caixa grande) e  $d$  (caixa pequena). Qual deve ser o tamanho  $d$  dos lados da coluna da caixa pequena para que a pressão exercida sobre essa coluna seja igual à pressão exercida pela caixa grande sobre a sua própria coluna?



b) Vamos supor agora que o equilíbrio estático da caixa grande seja garantido por duas colunas de sustentação. As forças atuando na caixa são: o peso  $\vec{P}$ , no centro de massa  $CM$ , e as forças  $\vec{F}_1$  e  $\vec{F}_2$  exercidas pelas colunas. As linhas (tracejadas) de atuação das três forças estão contidas no plano vertical mostrado na figura C (no espaço de respostas). O módulo do torque resultante sobre a caixa, em relação ao ponto  $O$ , é dado por:  $|\vec{\tau}_O| = |\vec{P}|x_1 - |\vec{F}_2|(x_1 + x_2)$ , sendo  $x_1 = 1,8$  m e  $x_2 = 0,6$  m. Calcule os módulos das forças  $\vec{F}_1$  e  $\vec{F}_2$ .

Resolução (será considerado apenas o que estiver escrito com caneta preta dentro deste espaço).

---

---

---

---

---

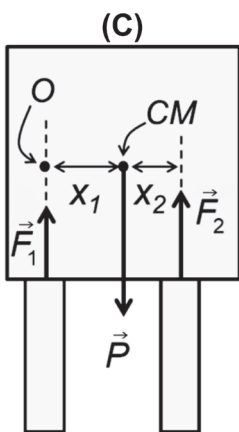
---

---

---

---

---




---

---

---

---

---

---

---

---

---

---

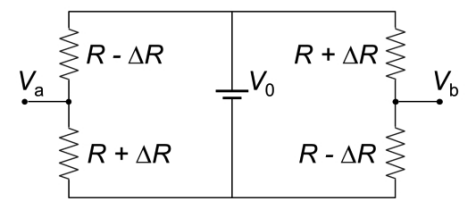




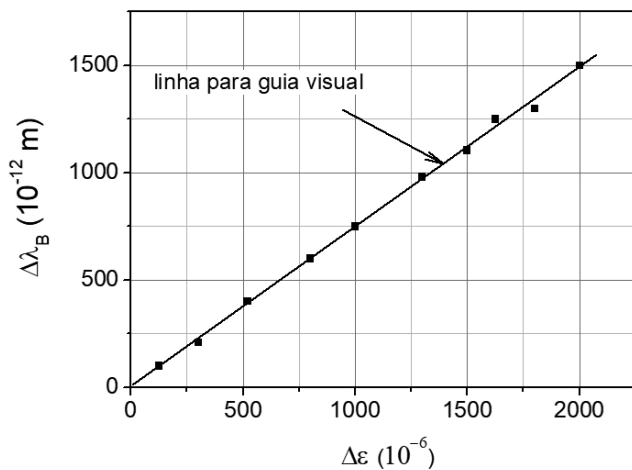
14.

a) Fibras ópticas são fibras feitas com materiais transparentes como o vidro ou plástico, amplamente utilizadas na transmissão de dados. Uma outra aplicação importante das fibras ópticas é no desenvolvimento de sensores. Por exemplo, uma fibra óptica com uma microestrutura periódica no seu núcleo reflete luz em apenas um comprimento de onda ( $\lambda_B$ ), sendo que a luz não refletida continua seu caminho. O comprimento de onda refletido é dado por  $\lambda_B = 2n\Lambda$ , sendo  $n$  o índice de refração do núcleo da fibra e  $\Lambda$  o período da microestrutura. Essa característica é explorada para monitoramento de deformações mecânicas, pois  $\Lambda$  varia quando a fibra é esticada, produzindo uma variação  $\Delta\lambda_B$  no comprimento de onda da luz refletida. Observa-se que  $\frac{\Delta\lambda_B}{\lambda_B} = \mu\Delta\varepsilon$ , sendo  $\Delta\varepsilon$  a variação relativa do comprimento da fibra, e  $\mu$  uma constante característica do sensor. O gráfico no espaço de respostas mostra a curva de  $\Delta\lambda_B$  em função de  $\Delta\varepsilon$  obtida na caracterização de um sensor para o qual  $n = 1,5$  e  $\Lambda = 3 \times 10^{-7}$  m. Encontre a constante característica  $\mu$  desse sensor.

b) *Strain-gauges* (extensômetros) são sensores muito empregados em engenharia para medir a deformação de estruturas. Usualmente são resistores elétricos, fixados na estrutura, que sofrem, com a deformação, variação na sua resistência elétrica. O esquema da figura ao lado mostra um circuito elétrico com fonte de tensão  $V_0 = 24$  V e quatro sensores dispostos numa estrutura. Com a deformação, dois deles têm sua resistência elétrica aumentada, passando de  $R = 100 \Omega$  para  $R + \Delta R$ , enquanto que os outros dois têm a resistência elétrica reduzida de  $R = 100 \Omega$  para  $R - \Delta R$ . Antes da deformação ( $\Delta R = 0$ ),  $\Delta V = V_a - V_b = 0$ . Encontre  $\Delta V$  após uma deformação que produz uma variação  $\Delta R = 0,25 \Omega$ .



Resolução (será considerado apenas o que estiver escrito com caneta preta dentro deste espaço).

















**RASCUNHO**